

Anwendung Stetiger Runge-Kutta Verfahren auf die Pantographengleichung

Hans Irl

LMU Munich, Germany

Hütte, den 14.12.2012



Runge-Kutta Verfahren für Gewöhnliche DGL

Es soll ein Runge-Kutta Verfahren (A, b)

$$\left\{ \begin{array}{l} K_{n+1}^i = f \left(t_{n+1}, y_n + h_{n+1} \sum_{j=1}^s a_{ij} K_{n+1}^j \right), \quad i = 1, \dots, s \\ y_{n+1} = y_n + h_{n+1} \sum_{i=1}^s b_i K_{n+1}^i \end{array} \right.$$

mit $t_{n+1}^i = t_n + c_i h_{n+1}$ auf eine Gewöhnliche DGL

$$\left\{ \begin{array}{l} y'(t) = f(t, y(t)) \quad \text{für } t \geq t_0 \\ y(t_0) = y_0 \end{array} \right.$$

angewendet werden.

Auf welcher Idee beruhen Runge-Kutta Verfahren?

Das Lösen des Anfangswertproblems einer Gewöhnlichen DGL

$$\left\{ \begin{array}{l} y'(t) = f(t, y(t)) \quad \text{für } t \geq t_0 \\ y(t_0) = y_0 \end{array} \right\}$$

ist äquivalent zum Lösen der Integralgleichung vom Volterra'schen Typ

$$y(t) = y_0 + \int_{t_0}^t f(s, y(s)) ds.$$

Diskretisierung der Integralgleichung führt auf

$$y_1 = y_0 + \left(\sum_{i=1}^s b_i K_1^i \right) h_1.$$

Runge-Kutta Verfahren für Gewöhnliche DGL

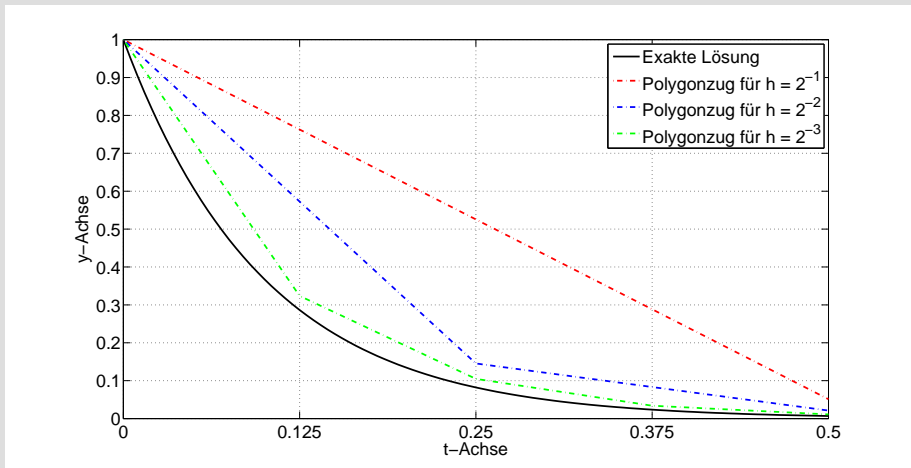


Abb.. Konvergenz numerischer Lösungen von $y' = -10y$

Stetige RKV für Gewöhnliche DGL

Es wird nun ein **Stetiges Runge-Kutta Verfahren** $(A, b(\theta))$

$$\left\{ \begin{array}{l} K_{n+1}^i = f \left(t_{n+1}, y_n + h_{n+1} \sum_{j=1}^s a_{ij} K_{n+1}^j \right), \quad i = 1, \dots, s \\ \eta(t_n + \theta h_{n+1}) = y_n + h_{n+1} \sum_{i=1}^s b_i(\theta) K_{n+1}^i \end{array} \right.$$

mit $i = 1, \dots, s$, $t_{n+1}^i = t_n + c_i h_{n+1}$ und $0 \leq \theta \leq 1$ auf eine GDGL

$$\left\{ \begin{array}{l} y'(t) = f(t, y(t)) \quad \text{für } t \geq t_0 \\ y(t_0) = y_0 \end{array} \right.$$

angewendet.

Stetige Runge-Kutta Verfahren für Gewöhnliche DGL

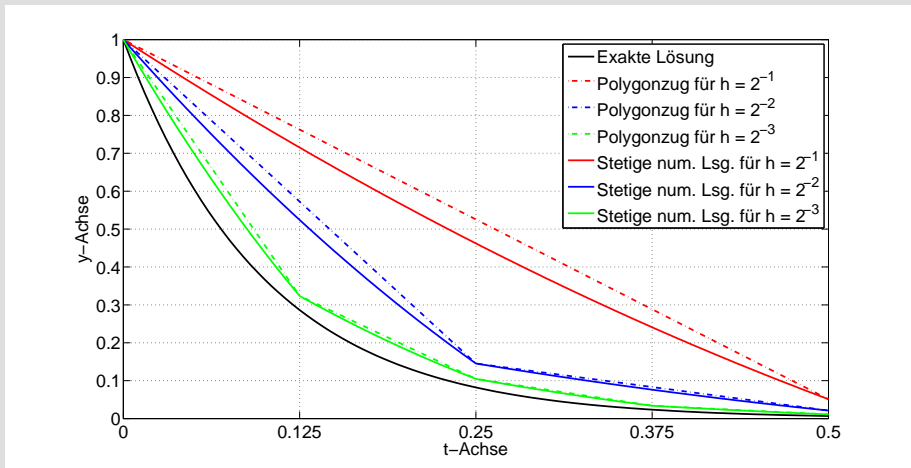


Abb.. Konvergenz stetiger numerischer Lösungen für $y' = -10y$

Runge-Kutta Verfahren für Gewöhnliche DGL - Fehler

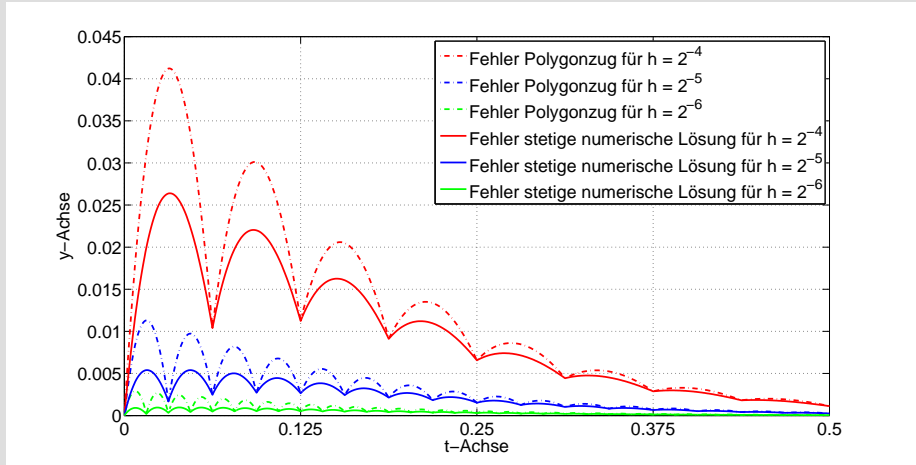


Abb.. Konvergenzfehler numerischer Lösungen für $y' = -10y$

Runge-Kutta Verfahren für Gewöhnliche DGL - Fehler

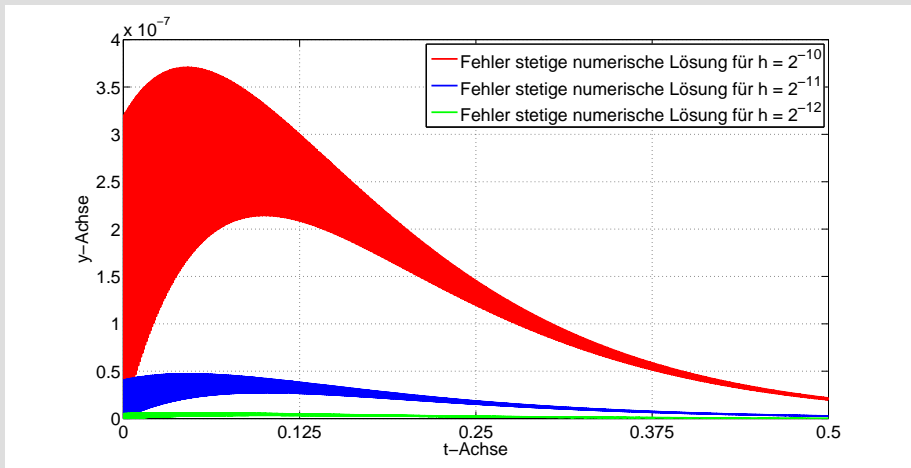


Abb.. Konvergenzfehler numerischer Lösungen für $y' = -10y$

Verifizierung der Konvergenzordnung

Nimmt man an, dass

$$\frac{|\text{Fehler}(h = 2^{i-1})|}{|\text{Fehler}(h = 2^i)|} \approx \frac{1}{2^p} = 2^{-p},$$

so gilt für die Differenzen der logarithmierten Fehlerbeträge

$$-\log_2(|\text{Fehler}(h = 2^{i-1})|) - (-\log_2(|\text{Fehler}(h = 2^i)|)) \approx p.$$

Verifizierung der Konvergenzordnung via `MatLab`:

$-\log_2(h)$	10.0000	11.0000	12.0000	13.0000
$-\log_2(\text{Fehler}(h = 2^{i-1}))$	22.1536	25.1232	28.1078	31.1000
Δ		2.9695	2.9846	2.9923

Konvergenz in einem Schritt (Konsistenz)

Wird nur der Fehler im ersten Integrations bei verschiedenen Schrittweiten betrachtet, so ergibt sich via `MatLab`:

$-\log_2(h)$	10.0000	11.0000	12.0000	13.0000
$-\log_2(\text{Fehler}(h = 2^{i-1}))$	27.4031	31.3656	35.3467	39.3371
Δ		3.9625	3.9811	3.9905

Anwendung Stetiger RKV auf die Pantographengleichung

Es wird nun ein **Stetiges Runge-Kutta Verfahren** $(A, b(\theta))$

$$\left\{ \begin{array}{l} K_{n+1}^i = f \left(t_{n+1}^i, y_n + h_{n+1} \sum_{j=1}^s a_{ij} K_{n+1}^j \right), \quad i = 1, \dots, s \\ \eta(t_n + \theta h_{n+1}) = y_n + h_{n+1} \sum_{i=1}^s b_i(\theta) K_{n+1}^i \end{array} \right.$$

mit $t_{n+1}^i = t_n + c_i h_{n+1}$ und $0 \leq \theta \leq 1$ auf die

Verallgemeinerte Pantographengleichung

$$\left\{ \begin{array}{l} y'(t) = Ly(t) + My(rt) + Ny'(rt) \quad \text{für } t \geq 0 \\ y(0) = y_0 \end{array} \right.$$

mit $r \in (0, 1)$, $L, M, N \in \mathbb{C}^{d \times d}$ und $y_0 \in \mathbb{C}^d$ angewendet.

Geometrisches Gitter für $r = 0.5$, $t_f = 2$, $h_1 = 0.25$

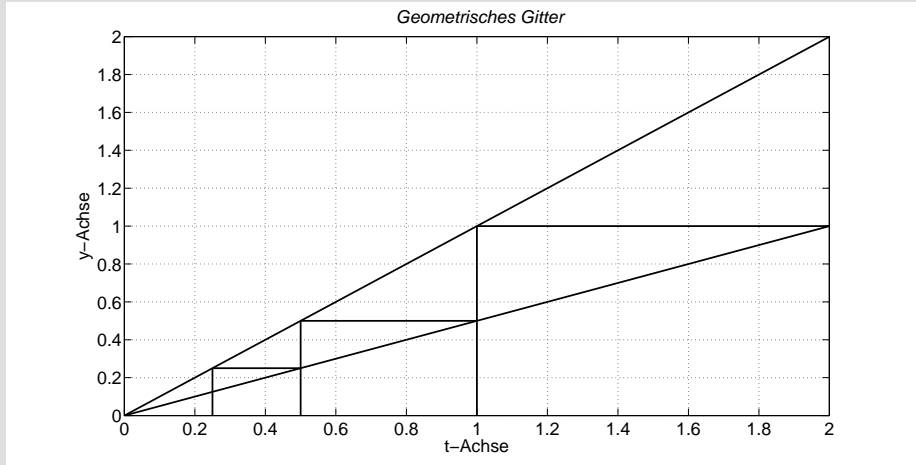


Abb.. Geometrisches Gitter mit $M = 3$ Makrointervalle

Quasi-Geometrisches Gitter für $r = 0.5$, $t_f = 2$, $h_1 = 0.25$

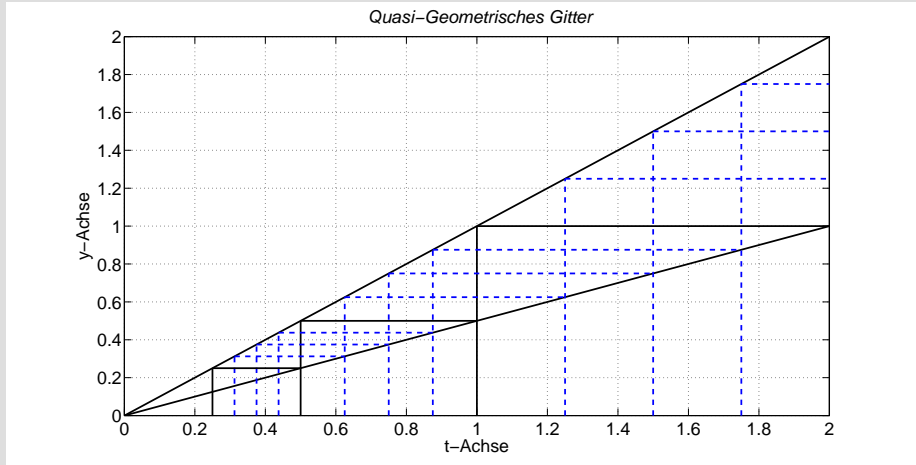


Abb.. QGG mit $M = 3$ Makro- und je $m = 4$ Mikrointervalle

Integration über Mikrointervall $[t_n, t_{n+1}]$ für $n \geq 1 + m$

Auf diesem Gitter schreibt sich das Stetiges RKV wie folgt:

$$\begin{aligned}
 K_{n+1}^i &= L \left(y_n + h_{n+1} \sum_{j=1}^s a_{ij} K_{n+1}^j \right) \\
 &+ M \left(y_{n-m} + h_{n-m+1} \sum_{j=1}^s b_j(c_i) K_{n-m+1}^j \right) \\
 &+ N \left(\sum_{j=1}^s b'_j(c_i) K_{n-m+1}^j \right) \quad \text{für } i = 1, \dots, s, \\
 \\
 y_{n+1} &= y_n + h_{n+1} \sum_{i=1}^s b_i K_{n+1}^i.
 \end{aligned}$$

Erster Integrationsschritt (Initialisierungsschritt)

$$\begin{aligned}
 K_1^i &= L \left(y_0 + h_1 \sum_{j=1}^s a_{ij} K_1^j \right) \\
 &+ M \left(y_0 + h_1 \sum_{j=1}^s b_j(?) K_1^j \right) \\
 &+ N \left(\sum_{j=1}^s b'_j(?) K_1^j \right) \quad \text{für } i = 1, \dots, s,
 \end{aligned}$$

$$y_1 = y_0 + h_1 \sum_{i=1}^s b_i K_1^i.$$

Integration über erstes Makrointervall

$$\begin{aligned}
 K_2^i &= L \left(y_1 + h_2 \sum_{j=1}^s a_{ij} K_2^j \right) \\
 &+ M \left(y_0 + h_1 \sum_{j=1}^s b_j(?) K_1^j \right) \\
 &+ N \left(\sum_{j=1}^s b'_j(?) K_1^j \right) \quad \text{für } i = 1, \dots, s,
 \end{aligned}$$

$$y_2 = y_1 + h_2 \sum_{i=1}^s b_i K_2^i.$$

Konvergenzordnung des Verfahrens für die PGL

KonvO via MatLab für $L = -100$, $M = -99$, $N = 0$, $r = 0.5$:

$-\log_2(h)$	12.0000	13.0000	14.0000	15.0000
$-\log_2(\text{Fehler}(h = 2^{i-1}))$	16.1273	19.0706	22.0416	25.0270
Δ		2.9434	2.9710	2.9853

KonvO via MatLab für $L = -100$, $M = -99$, $N = 0.65$, $r = 0.5$:

$-\log_2(h)$	12.0000	13.0000	14.0000	15.0000
$-\log_2(\text{Fehler}(h = 2^{i-1}))$	10.9058	13.5120	16.1421	18.7792
Δ		2.6062	2.6301	2.6371

Konvergenz in einem Schritt (Konsistenz)

Wird nur der Fehler im ersten Integrationsschritt bei $t = h$ für verschiedene Schrittweiten h betrachtet, so ergibt sich via `MatLab`:

$-\log_2(h)$	12.0000	13.0000	14.0000	15.0000
$-\log_2(\text{Fehler}(h = 2^{i-1}))$	17.4360	20.3352	23.2838	26.2578
Δ		2.8991	2.9486	2.9740

Besseres Verfahren „BMT“ liefert

$-\log_2(h)$	12.0000	13.0000	14.0000	15.0000
$-\log_2(\text{Fehler}(h = 2^{i-1}))$	20.9477	24.8342	28.7759	32.7464
Δ		3.8865	3.9417	3.9705

Konvergenzordnung des Verfahrens für die PGL

Wird nur der maximale Fehler im ersten Integrationsintervall $[0, h]$ für verschiedene Schrittweiten h betrachtet, so ergibt sich via `MatLab`:

$-\log_2(h)$	12.0000	13.0000	14.0000	15.0000
$-\log_2(\text{Fehler}(h = 2^{i-1}))$	16.6777	19.6146	22.5820	25.5654
Δ		2.9369	2.9674	2.9834

Problem: im ersten Makrointervall wird auf diese „schlechten“ Werte zurückgegriffen.

Eine mögliche Lösung: mehrere Initialisierungsschritte

Problem: teuer - warum?

Andere Lösung: besseres Verfahren für ersten Integrationsschritt verwenden.

Vergleich zweier Verfahren

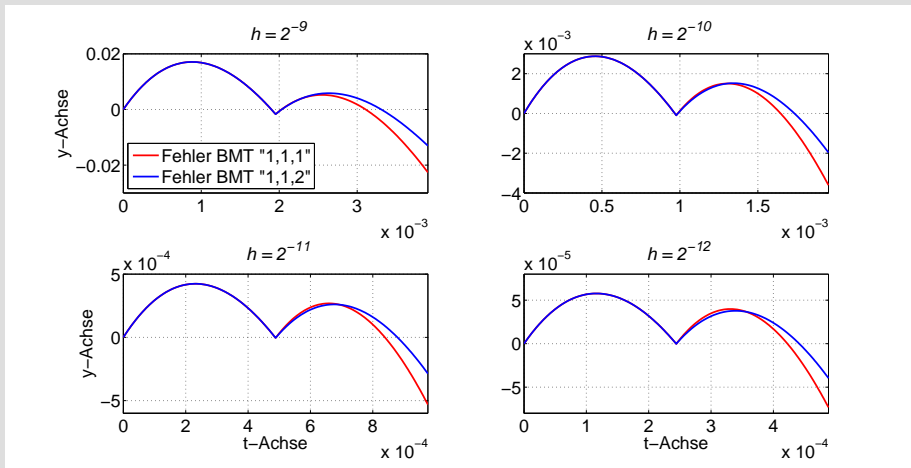


Abb.. Fehler bei Verwendung von $\eta'_{LobIII A}$ bzw. η'_{Ehle}

Mehrere Initialisierungsschritte

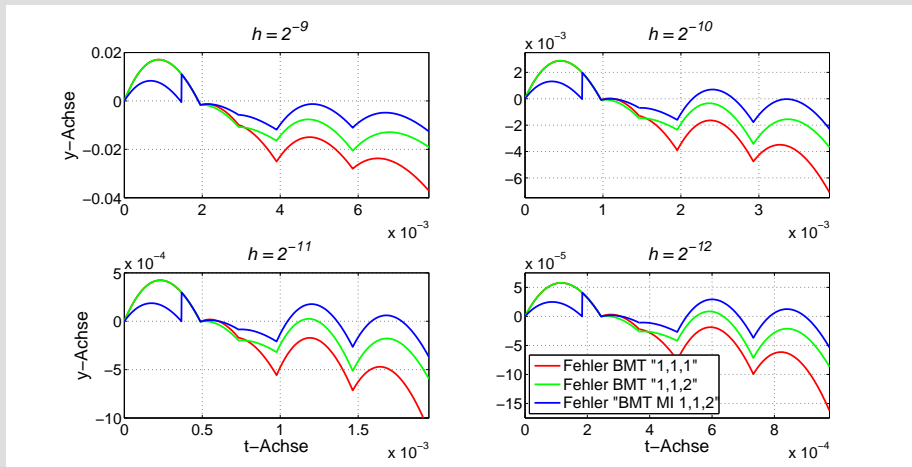


Abb.. Fehler der „1, 1, 1“- , „1, 1, 2“- und „MI 1, 1, 2“-Verfahren